

UDC 620.178.3  
629.13.012

# 航空宇宙技術研究所資料

TECHNICAL MEMORANDUM OF NATIONAL AEROSPACE LABORATORY

TM-139

薄板構造の疲れき裂伝ば実験

竹内和之・野原利雄

飯田宗四郎

1968年6月

航空宇宙技術研究所  
NATIONAL AEROSPACE LABORATORY

## 既 刊 資 料

TM-92 リフトジェットエンジン試験設備(I) —台上運転設備—	1966年10月	大山耕一, 吉田晃昇 中山晋, 菅原晃昇 五味光男
TM-94 J-3ジェットエンジン用タービン動翼の固有振動特性	1966年11月	武内澄夫, 宮地敏雄 星谷昌二
TM-95 超軽量軸流圧縮機動翼の固有振動特性	1966年11月	武内澄夫, 宮地敏雄 星谷昌二
TM-96 2024-T4および7075-T6有孔平板の曲げ疲労試験と2025-T4平滑丸棒の軸荷重疲労試験	1966年11月	佐野政明, 萩岡一洋
TM-97 高マッハ数風洞について(II)	1967年1月	吉永崇, 井上建二 広田正行, 植篠志
TM-98 40kWプラズマ発生装置の諸特性	1967年1月	野村茂昭, 相原康彦
TM-99 搭載機器用環境試験装置の特性	1967年2月	大月正男, 鈴木孝雄 田畠淨治, 円居繁治
TM-100 二連型リフトエンジンの吸込み抵抗	1967年3月	近藤博, 大城章一郎
TM-101 低圧環境下における固体ロケットモータの性能	1967年3月	望月昌, 斎藤信 五代富文, 伊藤克弥 湯沢克宜
TM-102 弹性支持片持板の振動	1967年3月	塙武敏, 築地恒夫 越出慎一, 林洋一
TM-103 給合梁の振動について	1967年3月	築地恒夫, 林洋一
TM-104 平板翼模型の固有振動モードの測定	1967年4月	中井暎一, 森田甫之
TM-105 非定常境界層方程式を含む放物型微積分方程式の数值解法	1967年4月	関口清子
TM-106 動安定微係数測定用風洞天秤について	1967年5月	高島一明, 榊原盛三 高原亘利, 榊原盛三 金成正好
TM-107 プロペラ後流偏倚型STOL機の風洞試験(II)	1967年6月	犬丸矩夫, 岡部祐二郎 北村清美, 川幡長勝 高橋伴, 木村友昭
TM-108 インダクタンス型小型圧力変換器の製作とその応用	1967年7月	長洲秀夫, 柳沢三憲
TM-109 ロケットの飛しょう径路計算のためのプログラム	1967年7月	戸川隼人, 石黒登美子
TM-110 二次元スラットおよびスロッテッドフラップの実験的研究(I)	1967年8月	犬丸矩夫, 北村清美 川幡長勝
TM-111 リフトジェットVTOL機の離陸径路に関する近似解	1967年8月	西村博史
TM-112 極超音速風洞用ペブル加熱器の特性	1967年8月	橋爪宏, 橋本登
TM-113 リフトジェットエンジン試験設備(II)	1967年9月	森田光男, 岩部柱相 閑根静雄, 武田克己
TM-114 五段遷音速軸流圧縮機の空力設計	1967年9月	藤井昭一, 松木正勝 五味光男
TM-115 燃料蒸発管に関する研究(I)	1967年9月	大塚貞吉, 鈴木邦男 田丸卓, 乙幡安雄
TM-116 高負荷燃焼器の空気孔からの流れについて(I)	1967年9月	鈴木邦男, 相波哲朗
TM-117 ロケット用テレメータ機上装置の集積回路化	1967年9月	新田慶治, 松崎良継
TM-118 操縦桿レート信号によるアイアンバーダー制御の安定効果とパイロットのモデルについて	1967年9月	村上力, 真柳光美
TM-119 ベーン型気流方向検出器の特性	1967年11月	田畠淨治, 松島弘一 成田健一, 塙本憲男
TM-120 円錐管レンズの設計とその応用	1967年11月	山中龍夫, 奥畠澄男

# 薄板構造の疲れき裂伝ば実験\*

竹内和之\*\*・野原利雄\*\*・飯田宗四郎\*\*

YS-11 の重量増加による改造型の主翼下面パネル構造のフェールセーフ性を確認するためには、部分構造模型を用いて、繰返し荷重に対する疲れき裂の伝ば状況を調べた。さらに、これと同材料の 2024-T3 アルミ合金平板の疲れき裂伝ば状況を調べ、両者を対比して解析を行なった。

## 1. はじめに

フェールセーフ性を要求される最近の航空機構造における疲れ強さの問題は、疲れき裂の発生とともに、発生したき裂の挙動が重要である。いいかえると、もし、構造の一部にき裂が生じた際に、そのき裂が整備作業中に発見されて必要な改修等の処置がとられるまでは、そのき裂が運航中に爆発的に生長して運航を妨げるようなことがあってはならない。

のことから、輸送機 YS-11 の重量増加による改造型において主翼下面パネルの疲れき裂（が生じた場合を想定して）の挙動が基本型のものとどのように変化しているかを調べる目的で川崎航空機工業（株）からの依頼による受託試験を行なった。この受託試験の結果、YS-11A 型（改造型の通称）の主翼下面パネルは、基本型<sup>1)</sup>と同様で十分なフェールセーフ性を有することが確認されたが、著者等は、この受託試験に引き続き、この主翼下面パネルと同一材料の 2024-T3 アルミ板材について、疲れき裂伝ばに関する実験を行ない、この種の薄板構造物における疲れき裂伝ばの解析法について検討を加えた。

## 2. YS-11 主翼下面パネルの実験

### 2.1 試験片および実験手順

YS-11 主翼下面パネルの主構造部分の構造を A型（改造型）と B型（基本型）とを比べると、図 1 の B-B

断面詳細に示すように、ストリンガのフランジ部および脚部の板厚が 2.20mm から 3.60mm に厚くしてある他はすべて同寸法である。実験に用いた試験片は、この主翼下面のストリンガ 5 本を含む実物大の部分模型（図 1 参照）とし、A型、B型それぞれ 3 個の試験片を製作した。これらの試験片には、疲れき裂を発生させるために、中央のストリンガの中央部（図 1 の B-B 断面）に、図 2 に示す 3 種の saw-cut をそれぞれに入れ、繰返し荷重を負荷して、き裂の生長を目視で観察した。

繰返し荷重の大きさは、みかけの応力（き裂が存在しないとして、ストリンガおよび外板に一様な等しい応力が作用していると考えた場合の応力）の最大が  $13 \text{ kg/mm}^2$ 、応力比  $R$ （=最小応力/最大応力）が 0.22 の引張り一引張り荷重（正弦波形）であって、実際に負荷した荷重を表 1 に示す。き裂伝ばの途中で、き裂が全断面の 1/5 度程および 2/5 度程となった時に表 1 に示す大きさのフェールセーフ荷重を各 1 回負荷して、その時のき裂長さに対するフェールセーフ性を確認した。

実験は、100ton の油圧ジャッキを用い、油圧サーボ制御方式<sup>2)</sup>によって、正弦波形の荷重を約 40cpm の繰返し速度で負荷した。試験中の状態を図 3 に、試験後の試験片の一例を図 4 に示す。

### 2.2 実験結果

各試験片のき裂伝ば状況は複雑であったが、ここでは最も重要であると考えられる外板におけるき裂伝ば状況を取り上げて解析することとし、その状態を図 5 に示す。き裂が外板にまで伝ばした過程を概略述べると、つぎのとおりである。

\* 昭和43年5月2日受付

\*\* 機体第一部

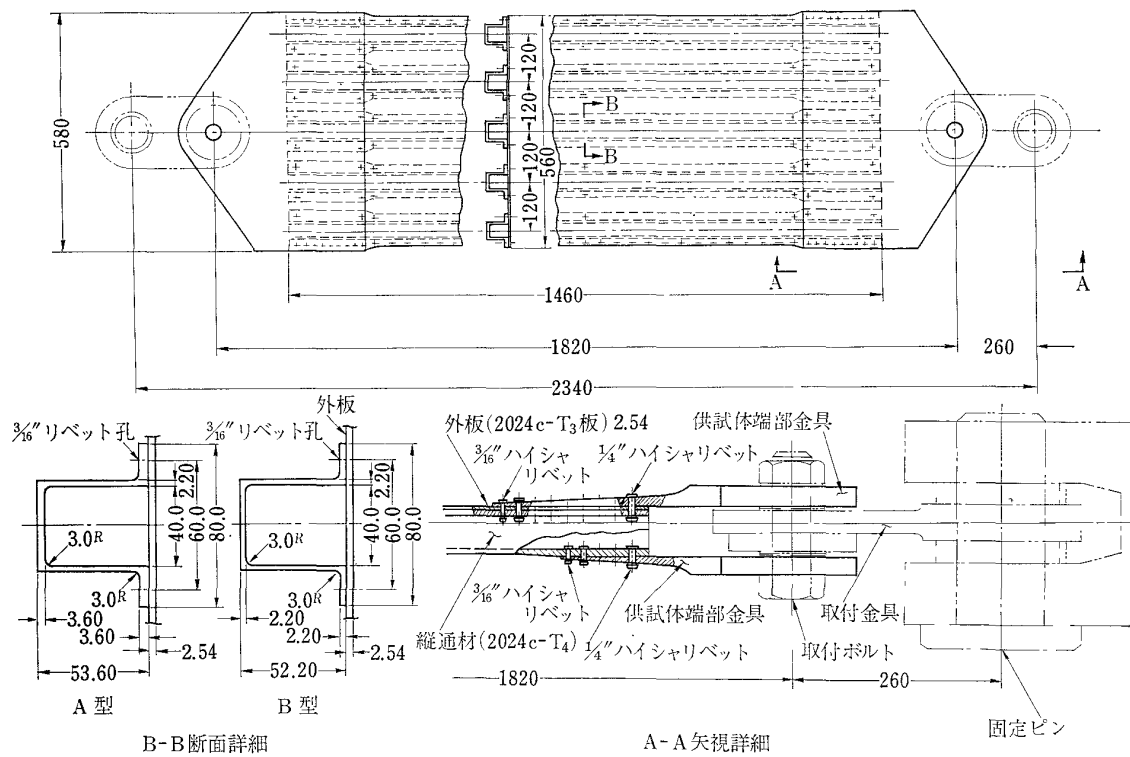


図 1 Y S -11 主翼下面パネル試験片の形状寸法 (単位 : mm)

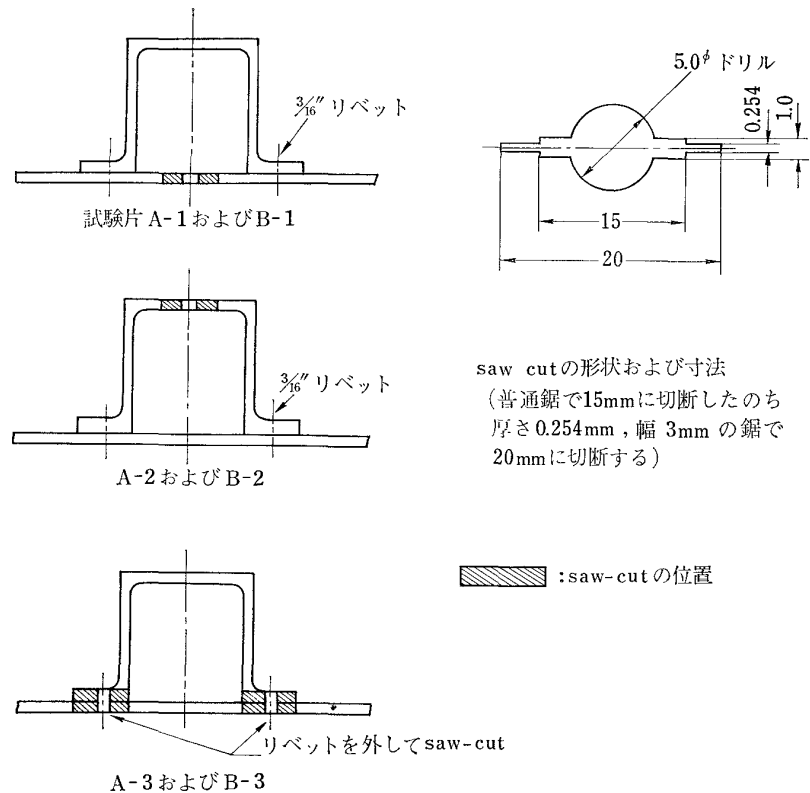
図 2 Y S -11 主翼下面パネル試験片の中央ストリンガの中  
央に入れた saw cut の位置と寸法 (単位 : mm)

表 1 Y S -11 主翼下面パネル試験荷重

荷重	試験片		備 考
	A 型	B 型	
繰返し荷重	29.1 ± 18.6ton	25.2 ± 16.1ton	1g ± 18fps 突風荷重に相当
フェールセーフ荷重	78.3ton	69.3ton	1g + 33fps 突風荷重に相当

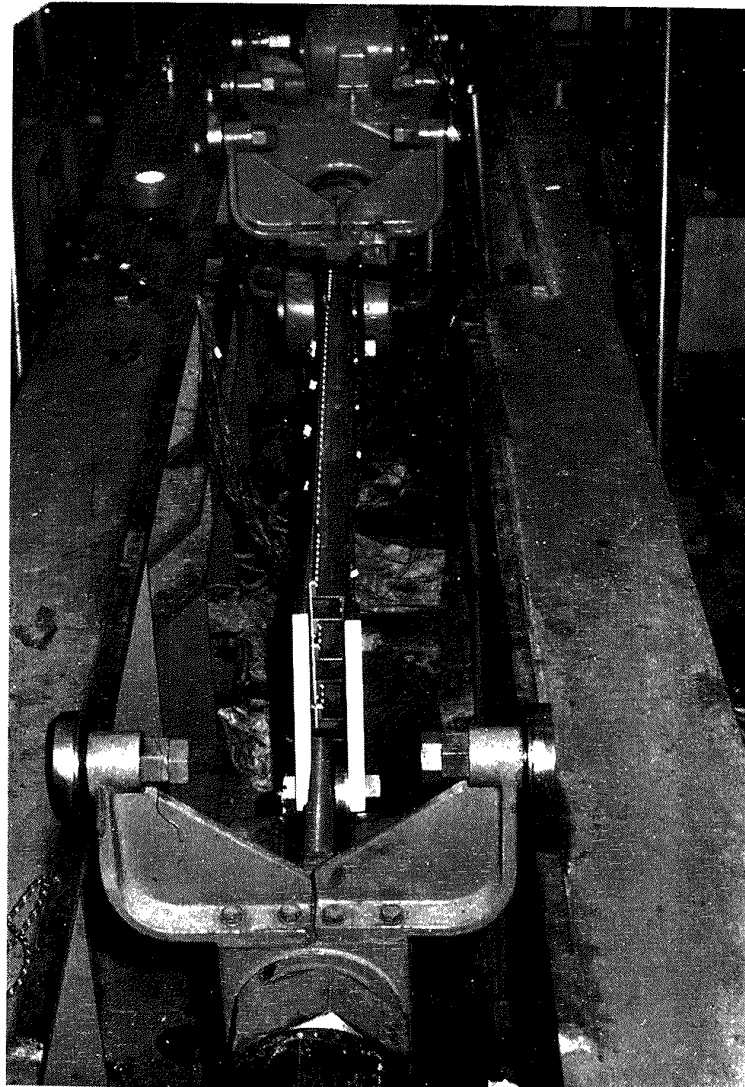


図 3 主翼下面パネル試験

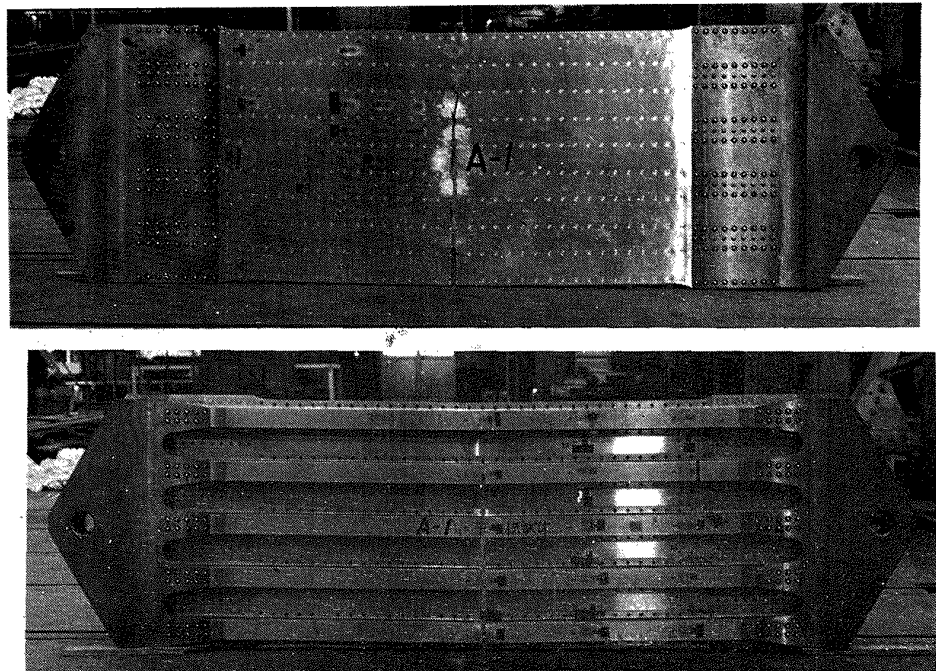


図 4 主翼下面パネル試験片の一例

A-1, B-1\*試験片は、外板の中央に saw-cut を入れたものであるが(図2参照)，表1に示す繰返し荷重では  $3 \times 10^4$  回近くの負荷回数でもき裂が伝ばしないので、 $35 \pm 20\text{ton}$  に繰返し荷重を上げ、あるいは saw-cut の長さを長くしたりして、鉄孔までき裂を生長させ、さらに鉄孔の外側に約  $1 \sim 2\text{ mm}$  のき裂が生じた。図5(a)はその後のき裂伝ば状況(繰返し荷重は表1のとおり)を示しているが、中央ストリンガにはその間に若干のき裂を生じた。すなわち、図5(a)の繰返し数  $11,000 \sim 12,000$  回でストリンガの脚部鉄孔にき裂が発生し、約  $20,000$  回のときにはストリンガのウェップの半分位までき裂が生長した。(ただし、この間、き裂の対称性を保つために若干の saw-cut を入れた。)

A-2, B-2 試験片は、中央ストリンガのフランジ中央に saw-cut を入れたものであるが(図2参照)，フランジ部では約  $1 \sim 5 \times 10^{-3}\text{ mm/cycle}$  のき裂伝ば

速度であったが、き裂がウェップ部に達すると、 $400 \sim 500$  回の繰返し荷重で、き裂はウェップ部を通り、さらに  $600 \sim 1,000$  回の繰返し荷重でストリンガ脚部の鉄孔に達した。ここで、ストリンガ脚部の残りの部分(鉄孔の外側)を切断して、ストリンガを完全に破断した。図5(b)は、その後の外板におけるき裂伝ば状況を示す。

A-3, B-3 試験片は、ストリンガ脚部とその位置の外板に鉄孔を含めて saw-cut を入れたものであるが(図2参照)，き裂は最初から外板とストリンガのウェップに生長した。図5(c)は外板のき裂生長を示すが、ストリンガのウェップ間の外板(図5(c)の②および③)が完全に切断した時に、ストリンガのウェップの半分位までき裂が生長していた。

### 3. 2024-T3 平板試験片の実験

#### 3.1 試験片および実験手順

YS-11主翼下面パネルの外板はA型、B型とも同じ材料、同じ板厚であるが、これと同じ材料、同じ板厚

\* 試験片の名称は、A, BがA型B型を、番号が図2に示す saw-cut の位置を示す。

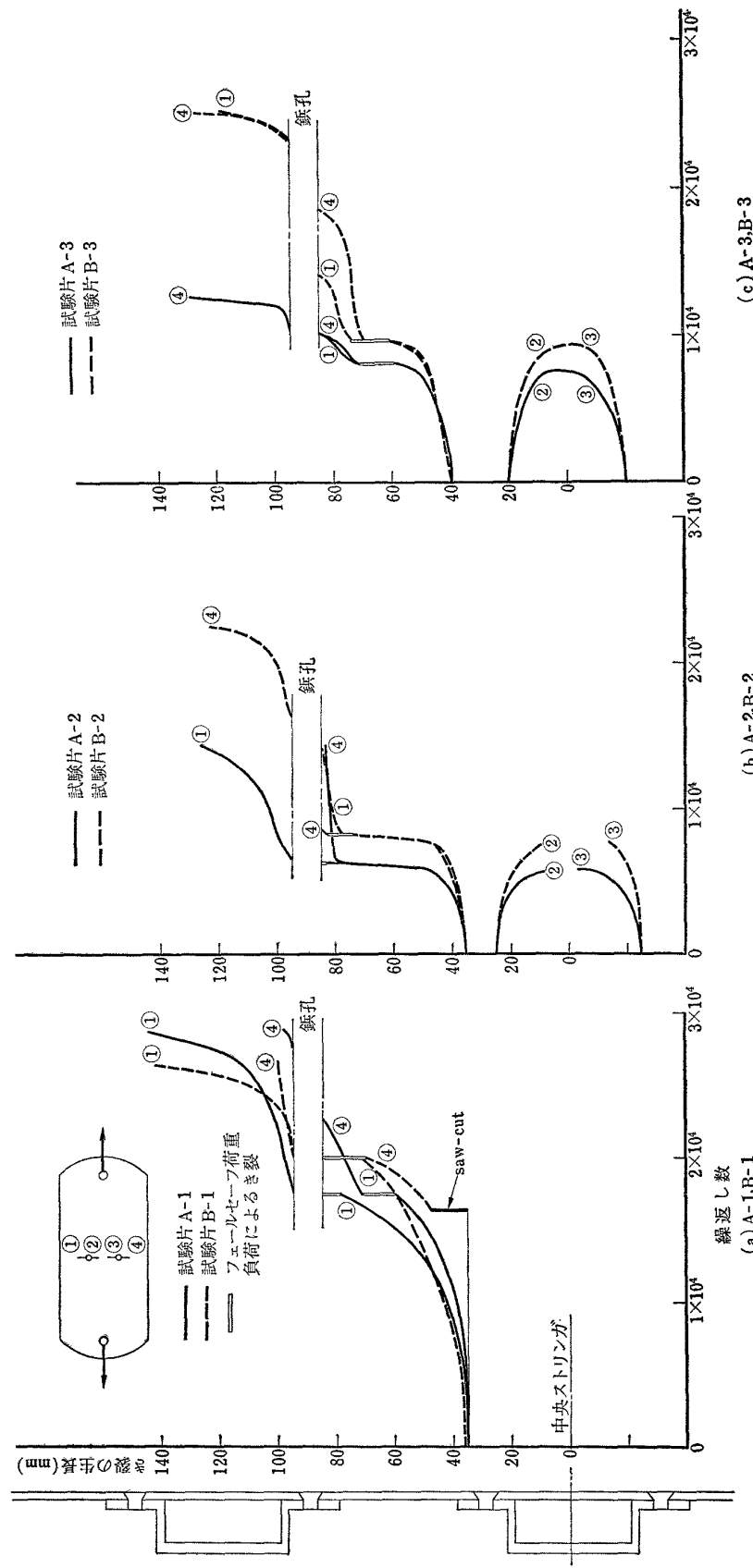


図 5 YS-11 主翼下面ペネル試験片のき裂伝ば状態

表 2 平板試験片の化学成分(%)

<i>Cu</i>	<i>Si</i>	<i>Fe</i>	<i>Mn</i>	<i>Mg</i>	<i>Al</i>
4.38	0.13	0.20	0.55	1.3	<i>Re</i>

表 3 平板試験片の機械的性質

試験材料	引張強さ	伸び
ロール方向	47.46kg/mm <sup>2</sup>	21.3 %
ロールと直角方向	47.56kg/mm <sup>2</sup>	19.4 %

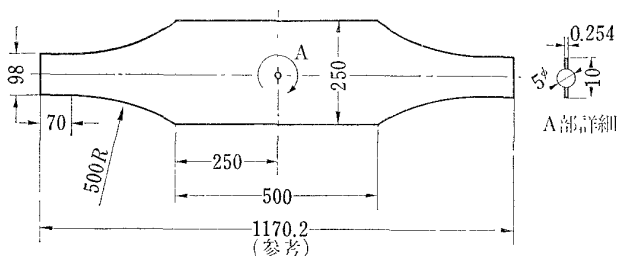


図 6 平板試験片の形状および寸法(単位:mm)

でストリンガがない平板の場合における疲れき裂の伝ば特性を知るための実験を行なった。

試験片に用いた平板材料の化学成分および機械的性質を表2、表3に示す。試験片は図6に示すように中央にsaw-cutを入れた形状で、これに引張り一引張りの繰返し荷重を負荷して、き裂の生長を目視で観察した。繰返し荷重の最大荷重は、YS-11主翼下面パネルの実験とみかけの応力(saw-cutおよびき裂がないと考えたときの最大荷重による平均応力)が同じ13kg/mm<sup>2</sup>となるようにし、最小荷重は応力比*R*(最小荷重/最大荷重)が0.1, 0.22, 0.45となるように定めた。また、*R*=0.22の場合(YS-11主翼下面パネル実験と同じ)についてのみ、応力一定試験(き裂の生長に従って荷重を減少し、残りの断面積に対する最大荷重の

割合 $\sigma_{net}$ を常に一定に保つようにする。), およびフェールセーフ荷重負荷の影響を調べる試験を行なった。後者は、フェールセーフ荷重を、疲れき裂の伝ば途上で負荷した場合\*に、その後の疲れき裂の伝ばにどのような影響を与えるかを調べるために行なったもので、き裂が10mmまで生長した時に繰返し荷重より大きな荷重(ここでは、繰返し荷重の120, 160, 200%の3種の荷重)を1回だけ負荷して、その後のき裂伝ばの状況を観察した。

試験は、10tonおよび20tonの油圧ジャッキを用い、油圧サーボ制御方式<sup>2)</sup>によって、正弦波形の荷重を約100cpmの繰返し速度で負荷した。

### 3.2 実験結果

saw-cutの両端から生長したき裂長さの平均と繰返し回数との関係を図7に示す。図7には、同じ荷重条件で行なった3本(ただし、応力一定試験は1本)の試験片の資料をそのまま記している。フェールセーフ荷重負荷の影響を調べた結果は図12に示す。

## 4. 実験結果の解析

### 4.1 疲れき裂伝ば速度について

図5、および図7に示す実験結果から、き裂伝ば速度( $\Delta l/\Delta N$ )を求めると、図8、および図9となる。YS-11主翼下面パネルでは図8で明らかなように、A型とB型の差は、いずれの場合もほとんど認められない。また、そのき裂伝ば速度は、き裂長さが50mmをこえた長さでも0.1mm/cycle程度であって、十分のフェールセーフ性を有することがわかる。

き裂長さとき裂伝ば速度の関係を、Head<sup>4)</sup>は(1)式のように与えている、

$$\frac{\Delta l}{\Delta N} = Al^B \quad (1)$$

ただし、 $\Delta l$ :き裂長さの増分(mm)

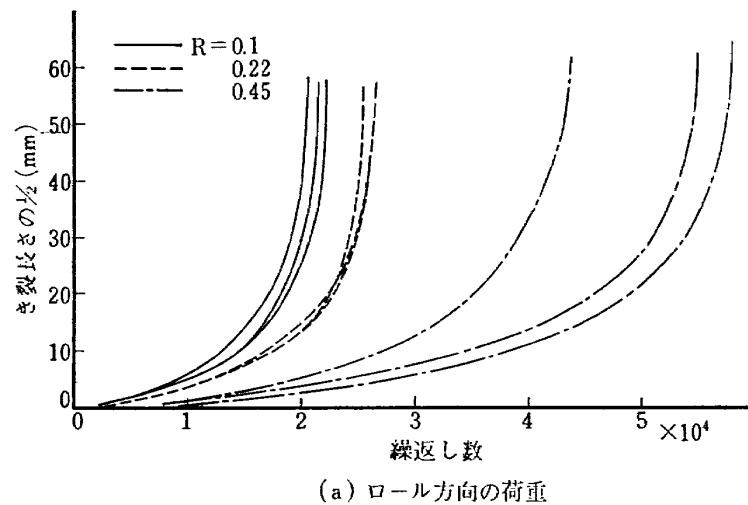
$\Delta N$ :繰返し回数の増分

$l$ :き裂長さの1/2(mm)

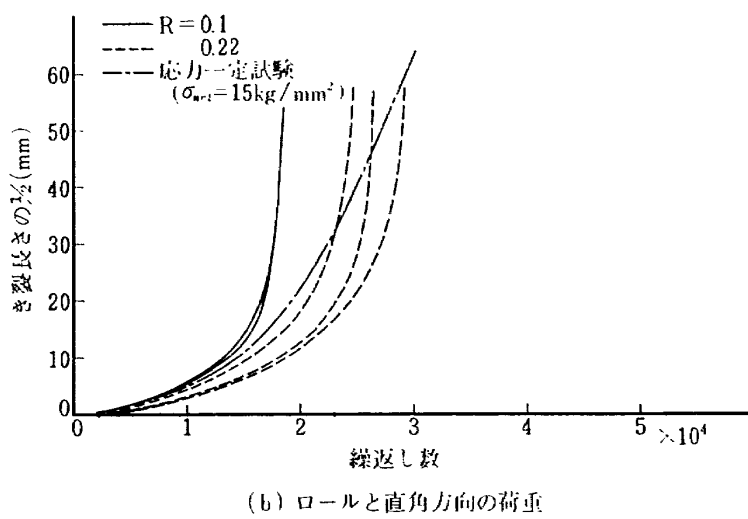
$A$ :材料常数

$B$ :材料常数で、Headは3/2を提案している。

\* 実機や実機の部分模型を用いて行なわれるフェールセーフ確認試験の際に、き裂がある程度生長すると繰返し荷重より大きいフェールセーフ荷重を負荷して、そのき裂が爆発的に生長するかどうかを確認することが行なわれる。



(a) ロール方向の荷重



(b) ロールと直角方向の荷重

図 7 平板試験片のき裂伝ば状態

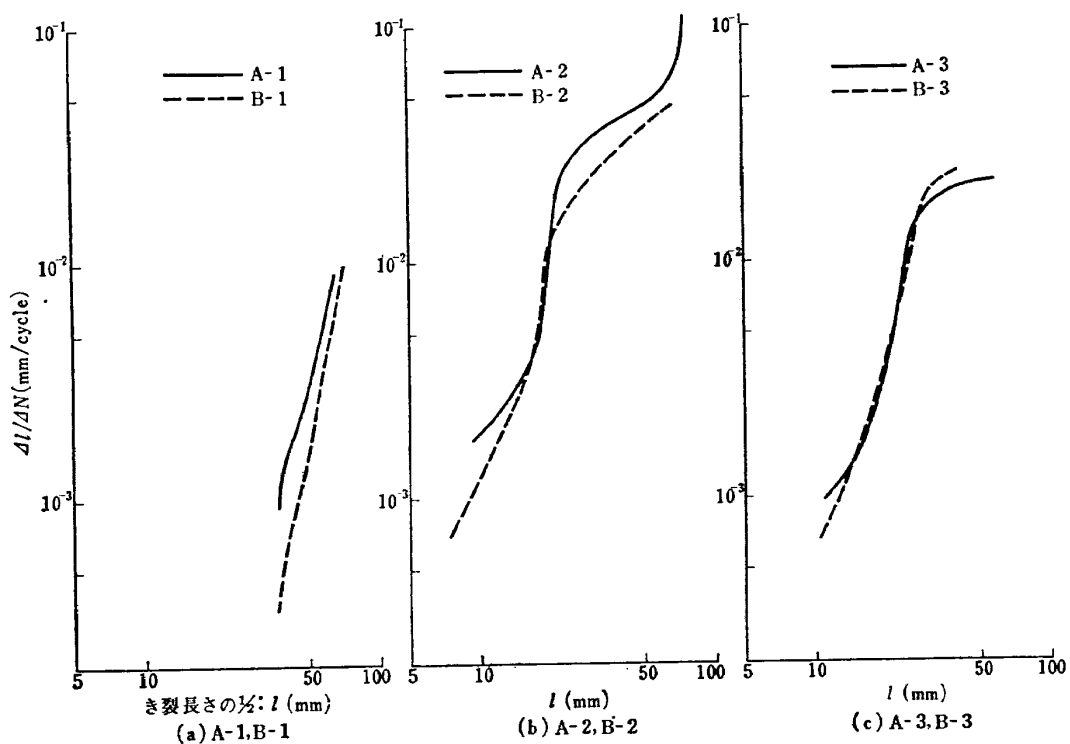


図 8 Y S -11 主翼下面パネルのき裂伝ば速度

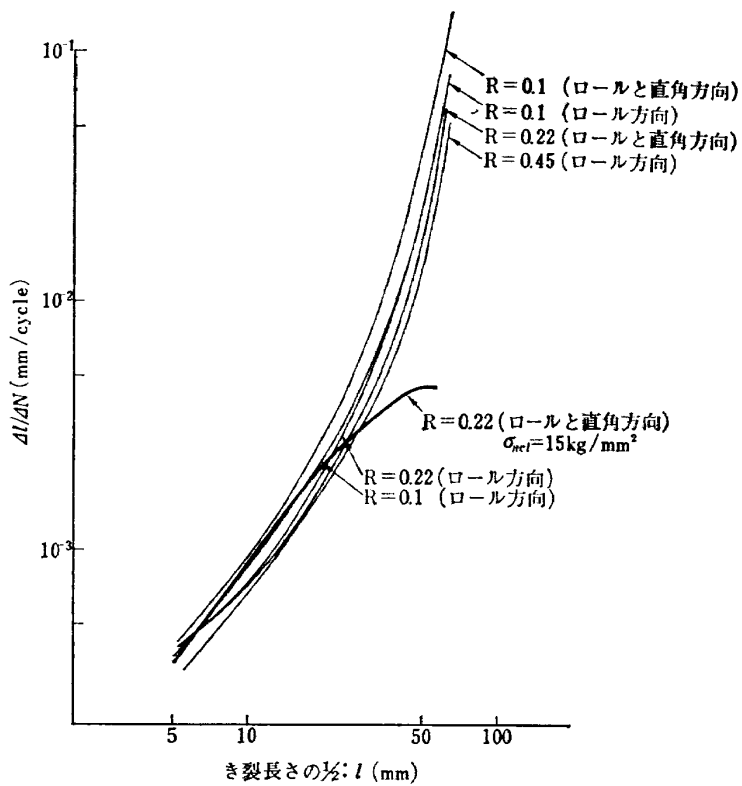


図 9 平板試験片のき裂伝ば速度

図8の場合は(1)式の直線性(対数目盛の場合)は認められるが、その傾斜に相当するBの値はHeadの提案による3/2より相当大きい、図9の場合は、直線性は認め難いが、き裂長さ20mm付近での傾斜はほぼ3/2である。

A.J. McEvily, Jr. and W. Illg<sup>4)</sup>は、平板の引張り一引張りの繰返し荷重による疲れき裂の伝ば速度を、理論的弾性応力集中 $K_N$ で整理することを提案し、多くの実験資料を基として2024-T3アルミ合金平板の片振り引張り繰返し荷重( $R=0$ )による疲れき裂伝ば速度を(2)式で示す実験式として与えている。

$$\log_{10} \frac{dI}{dN} = 0.00724 K_N \sigma_{net} - 4.067 - \frac{24}{K_N \sigma_{net} - 24} \quad (2)$$

ただし、 $\sigma_{net}$ ：繰返し最大荷重の正味断面による平均応力(kg/mm<sup>2</sup>)

$K_N$ ：理論的弾性応力集中係数

(2)式を図示すると、図10および図11の点線となる。平板試験片の実験結果(図7)を、この方法で整理すると、同じ荷重条件での3本の試験結果はほとんど差

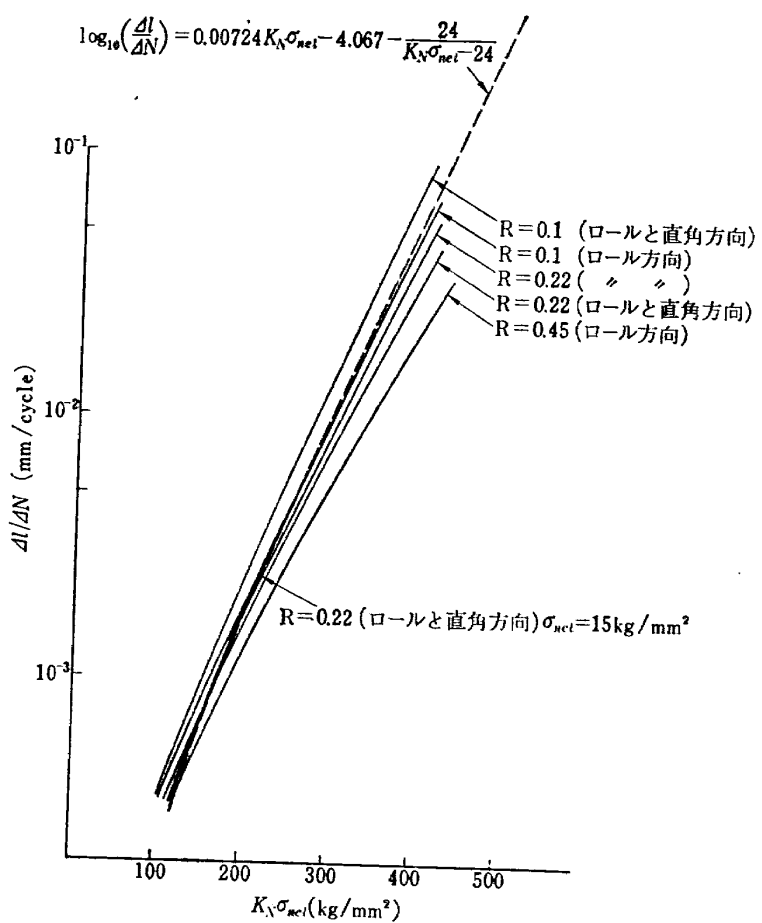


図10 平板試験片のき裂伝ば速度と  $K_N \sigma_{net}$  の関係

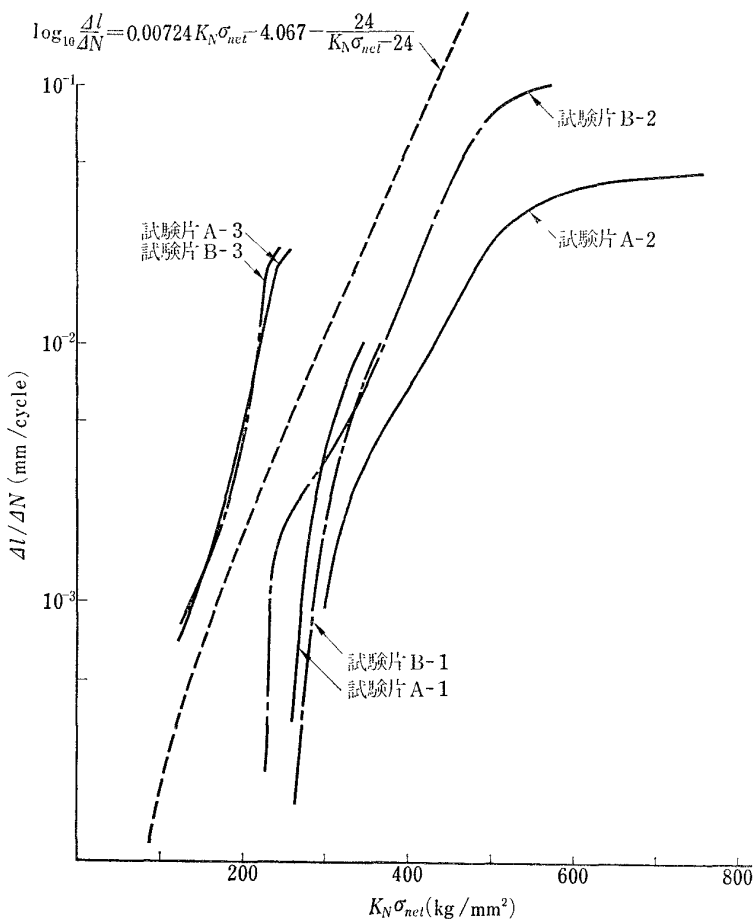


図 11 Y S-11 主翼下面パネルのき裂伝ば速度と  $K_N \sigma_{net}$  の関係

がなくなるので、これを 1 本の曲線で表わしたもののが図10の実線である\*。YS-11 主翼下面パネルの外板部

分のき裂伝ば速度(図 5)を、同様に整理すると\*\*, 図 11の実線および一点鎖線となる。

\* 平板試験片の場合の  $K_N$  は、McEvily 等<sup>4)</sup>が用いた(2')式を用いて計算した。

$$K_N = 1 + \frac{1}{2} (K_H - 1) \frac{x}{\rho_e} \quad (2')$$

ただし、

$x$  ; き裂長さ(saw-cut を含む)の半分(mm)  
 $\rho_e$  ; き裂先端の曲率半径(0.0762mm)

$K_H$  ; 有限帶板にある円孔の理論弾性応力集中係数

\*\*  $K_N$  の求め方は、A-1, B-1 試験片の場合は、全くストリンガがない平板(板幅 560mm)の中央にき裂が存在するものとして、(2')式を用い

て計算した。A-2, B-2 試験片の場合は、両側のストリンガと、その内側のストリンガが一緒になった補強材と考え、縁を補強した帶板における応力集中問題として、石田<sup>3)</sup>の解を用いて(2')式を修正して計算した。(この場合にき裂は中央ストリンガ脚部の 2箇所であるが、1 個のき裂が縁を補強した帶板(板幅 120mm)の中央にあるとして計算した。) A-3, B-3 試験片の場合は、(2')式を用いた。(この場合も、A-2, B-2 試験片と同様にき裂は中央ストリンガ脚部の鉢孔 2箇所であるが、1 個のき裂が補強なしの帶板(板幅 500mm)の中央にあるとして計算した。)

図10から、平板試験片の場合は McEvily 等の(2)式が非常によくき裂伝ばの特性を表わすことがわかる。しかし、主翼下面パネル実験の場合(図11)には実験結果は(2)式とは相当異なっているが、これは  $K_N$  および  $\sigma_{net}$  の評価に問題があると考えられる。

#### 4.2 フェールセーフ荷重がき裂伝ば速度に及ぼす影響について

フェールセーフ荷重を負荷した後のき裂伝ば速度の実験結果は図12に示すが、この図から明らかのように、フェールセーフ荷重を負荷すると、その後のき裂伝ば速度はフェールセーフ荷重を負荷しない場合に比べて著しく変化する。そして、その変化量はフェールセーフ荷重が大きいほど大きい。いま、フェールセーフ荷重によって影響される範囲を図12に示す $\lambda$ として表わすことになると、 $\lambda$ はフェールセーフ荷重の大きさに対して図13のようになる。このように、き裂伝ばを測定する実験を行なう場合に、その途中で繰返し荷重より大きい荷重を1回加えると、その後のき裂伝ばに相当影響してくることは、この種の実験を行なう際に十分注意しなければならない問題である。

### 5. まとめ

以上述べた実験および解析の結果を以下に総括する。YS-11改造型の主翼下面パネルは、基本型のものと比べて疲れき裂の伝ば速度に大きな差は認められず、両者共そのフェールセーフ性は十分であると考えられる。2024-T3 アルミ合金板材の疲れき裂伝ば速度は、 $K_N$ 、 $\sigma_{net}$  の評価が簡単な平板の場合には、McEvily 等が提案した式によって非常によく表現されるが、主翼下面パネルについて行なった解析では相当実験と異なる結果となった。これは  $K_N$ 、 $\sigma_{net}$  の評価に問題があると考えられる。すなわち、(1)解析は、二次元応力問題として解いたが実験では(また実物機体の場合でも)局部的な板曲げを生ずる。(2)ストリンガを全く考えない解析、あるいはストリンガの剛性のみを考えた解析を行なったが、実際には、ストリンガはパネルと同じ位の幅をもっているので、二次元問題として取り扱うのは相当無理である。(3)ストリンガとパネ

ルは鉢接合であるから鉢近くの応力分布は複雑である。等のことから、き裂先端の局部応力状態が微妙にきいてくると考えられるき裂の伝ば速度の解析は、非常に困難である。

したがって、き裂の伝ば速度を詳細に知る必要がある構造物においては、実験が確認試験として重要である。しかし、この種のき裂伝ばの実験は、材料の塑性変形、破損を伴うので細心の注意が必要であり、特に繰返し荷重より大きい荷重を負荷した場合には、その後のき裂伝ばの様相が著しく変化するので注意を要する。本実験で行なった 2.5mm 板厚の 2024-T3 板材の場合に、降伏応力の80%程度のみかけの応力を負荷した場合に、その後のき裂が約 8 mm 生長するまでは、この負荷の影響でき裂伝ば速度が著しく低下することが認められたが、この問題についてはさらに深く研究する必要があると考えられる。

本研究において、YS-11 主翼下面パネルの部分模型の設計製作は川崎航空機工業(株)で行なわれ、実験、資料整理には川治光明\* 氏等担当者の協力があった。また、平板試験片による実験も含めて、森谷弘明\*\*, 齋藤信一郎\*\*両君の協力があったことを付記する。

### 文 献

- 1) 竹内和之、飯田宗四郎、塩原竹治、中井治夫；国産中型輸送機 YS-11主翼疲労試験(第Ⅱ報)－機体の被害状況－ 航技研資料 TM-45 1964年12月
- 2) 竹内和之、飯田宗四郎、小野幸一；主翼繰返し荷重試験装置 航技研報告 TR-33 1962年12月
- 3) 石田誠、田上重美、板垣芳雄；縁を補強した帶板におけるクラックによる応力集中係数 日本航空学会誌、第10巻、第100号、1962年
- 4) A. J. McEvily, Jr. and W. Illg ; The Rate of Fatigue Propagation in Two Aluminium Alloys. NACA TN 4394 1958.

\* 川崎航空機工業(株)

\*\* 機体第一部

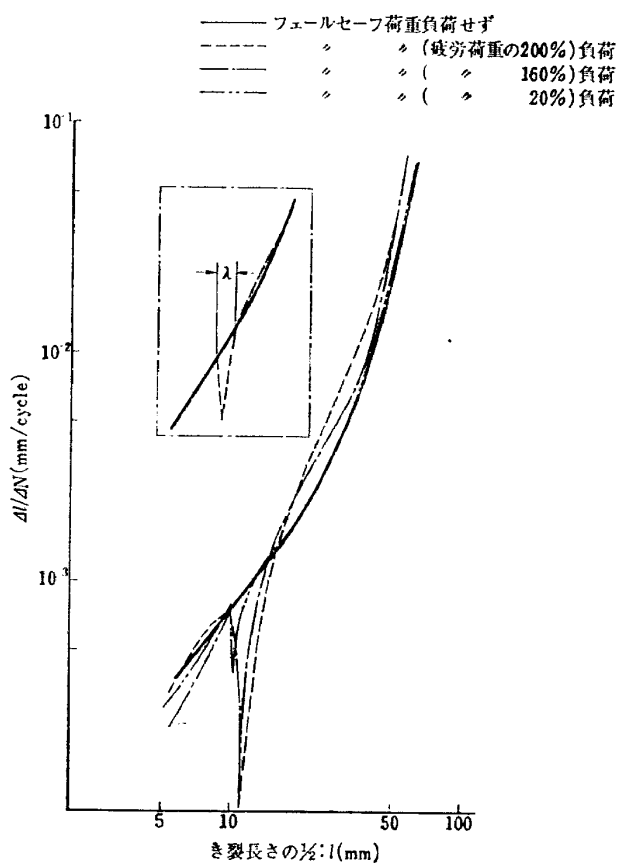


図 12 フエールセーフ荷重を負荷した場合のき裂伝ば速度の変化

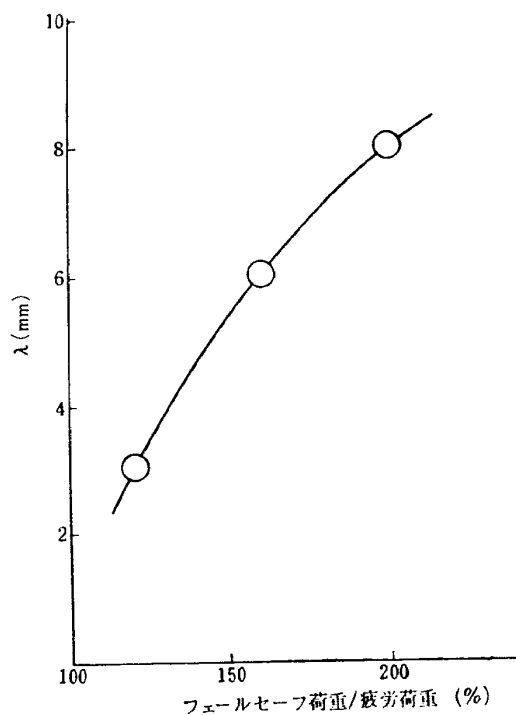


図 13 フエールセーフ荷重によって影響されるき裂長さ

TM-121 大きなマトリクスの逆行列計算および連立一次方程式の計算のためのプログラミング技術	1967年11月 戸川隼人, 戸川保子
TM-122 NAL-7-P ロケットの強度および燃焼試験結果	1967年11月 竹中幸彦, 古田敏雄 小川鉱一, 古朝洋雄 豊原恒彦, 田代富文 湯沢克宜, 伊藤克弥 西村久男
TM-123 "NAL-16・31" および "NAL-25・31" 二段ロケットの振動試験	1967年11月 中井暎一, 古関昌朗 寺木一, 高木俊之 安藤泰勝, 森田甫 岸正勝, 菊地孝 峯太田幹雄
TM-124 吹出式超音速風胴の集合胴圧力制御について	1967年12月 外立政隆, 近藤洋史 原直利
TM-125 航技研 1m×1m吹出式超音速風胴におけるハーフモデル試験について	1968年2月 石原久藏, 原直利 柳原盛三, 関根英夫
TM-127 2024-T3アルミニウム合金の3-bay 有孔補強平板の軸荷重による疲労特性	1968年4月 飯田宗四郎, 猿本光明 斎藤信一郎
TM-130 リフトエンジンの自然吸込みについて	1968年4月 近藤博, 大城章一郎
TM-131 遷音速タービン翼列二次元試験(Ⅲ)	1968年5月 近藤博, 萩田光弘 山崎紀雄, 吉川昇
TM-132 行列の最小固有値の一計算法	1968年5月 戸川隼人, 戸川保子
TM-133 フィラメント・ワインディング円筒の強度特性に関する研究	1968年5月 竹中幸彦, 斎藤浩一 古田敏康, 川島矩一 三木茂夫, 小川鉱一 越出慎一, 朝田洋雄 態倉郁夫, 大竹邦彦
TM-134 AGARD 標準模型 HB-1, HB-2 の超音速風胴試験	1968年5月 斎藤秀夫, 石原久藏 原直利, 野田順一 関根英夫
TM-135 歪ゲージの自己加熱による歪ドリフト	1968年5月 小川鉱一, 遠藤修司
TM-136 "NAL-16・31" および "NAL-25・31" 二段ロケット結合部の曲げ剛性試験	1968年5月 中井暎一, 飯田宗四郎 高木俊朗, 安藤泰勝 菊地孝男
TM-137 ロケットの三次元の運動の方程式および HITAC 5020 による軌道計算のためのプログラム	1968年5月 毛利 浩
TM-138 片持板の振動解析に関する考察	1968年6月 堀林武敏, 越出慎一

注: 欠番は配布先を限定したもの

## 航空宇宙技術研究所資料 139 号

昭和 43 年 6 月 発行

発行所 航空宇宙技術研究所

東京都調布市深大寺町 1880

電話武蔵野三鷹(0422)44-9171 (代表)

印刷所 一誠社総合印刷株式会社

東京都武蔵野市御殿山 1-6-10

